

MAPA GEOLOGICO DE ESPAÑA

Escala 1:50.000

DOCUMENTACION COMPLEMENTARIA

ALBUM FOTOGRAFICO DE LA

HOJA DE PALOMARES DEL CAMPO

Nº 633 (22-25)

E.N. ADARO

Marzo, 1992



FOTO 22-25-AD-AG-9043.-

Formación Carniolas de Cortes de Tajuña. Frente de cabalgamiento junto a la carretera de Saelices a Puebla de Almenara.



FOTO 22-25-AD-AG-9044.-

Anticlinal en la Formación Cuevas Labradas junto a la cantera abandonada en la carretera de Rozalén del Monte a Uclés.



FOTO 22-25-AD-AG-9045.-

Vista panorámica del valle del río Cigüela. Al fondo el núcleo del anticlinal en el que afloran las carniolas de la Formación Cortes de Tajuña. En el plano intermedio las capas y bancos de calizas verticales de la Formación Cuevas La bradas.



FOTO 22-25-AD-AG-9046.-  
Garganta del Río Cigüela excavada sobre los bancos de calizas  
de la Formación Cuevas Labradas.



FOTO 22-25-AD-AG-9047.-  
Capas y bancos en las dolomías cristalinas del Jurásico en el  
núcleo del anticlinal de Zafra de Záncara.



FOTO 22-25-AD-AG-9048.-

Estructuras tractivas (ripples) en las dolomías cristalinas (Jurásico) del núcleo del anticlinal de Zafra de Záncara.



FOTO 22-25-AD-AG-9049.-

Laminación cruzada planar (barra) en las dolomías cristalinas del Jurásico en el anticlinal de Zafra de Záncara.



FOTO 22-25-AD-AG-9050.-  
Serie invertida en el flanco occidental del anticlinal del río Cigüela. Serie del Dogger.



FOTO 22-25-AD-AG-9051.-  
Serie de las calizas tableadas del Dogger en la margen izquierda del río Cigüela. Flanco oriental del anticlinal del río Cigüela.



FOTO 22-25-AD-AG-9052.-

Detalle de las calizas bioclásticas y oolíticas tableadas de la serie del Dogger, en la estructura anticlinal del río Cigüela (flanco oriental).

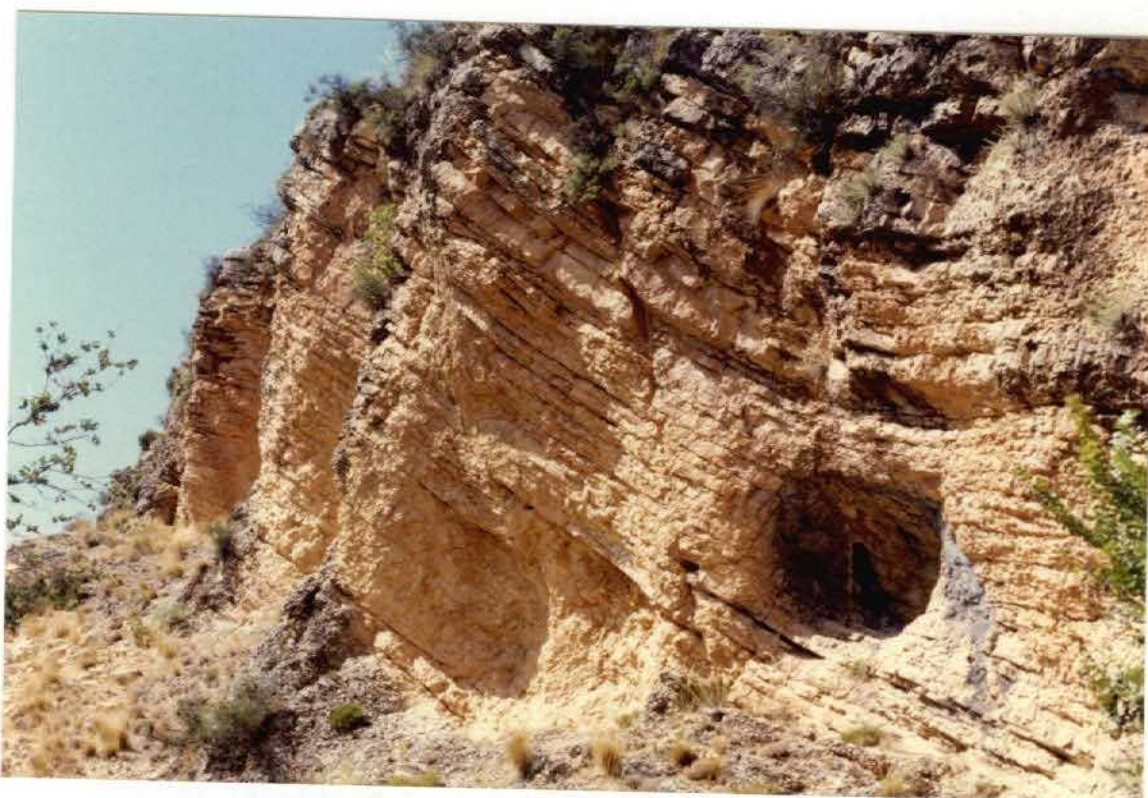


FOTO 22-25-AD-AG-9053.-

Detalle de la estratificación de las capas calizas del Dogger en el río Cigüela.



FOTO 22-25-AD-AG-9054.-

Pañorámica del anticlinal cretácico de Zafra de Záncara. Vista tomada desde el pueblo.





FOTO 22-25-AD-AG-9055.-

Serie de la Formación Arenas de Utrillas en las proximidades de Zafra de Záncara.



FOTO 22-25-AD-AG-9056.-

Formación Arenas de Utrillas en la carretera de Saelices a Almonacid del Marquesado.



FOTO 22-25-AD-AG-9057.-

Formación Dolomías tableadas de Villa de Ves en la carretera de Saelices a Almonacid del Marquesado. Detalle de "ripples" de oscilación en la base de la foto.



FOTO 22-25-AD-AG-9058.-

Alternancia de margas y capas delgadas de dolomías en la Formación Margas de Casa Medina en la carretera de Saelices a Almonacid del Marquesado.



FOTO 22-25-AD-AG-9059.-

Serie carbonatada del Cretácico superior (Cenomaniense-Turo-  
niense) en el anticlinal de Zafra de Záncara.



FOTO 22-25-AD-AG-9060.-

Formaciones Villa de Ves, Casa Medina y Ciudad Encantada en  
el anticlinal de Zafra de Záncara.



FOTO 22-25-AD-AG-9061.-

Serie del Cretácico superior de Zafra de Záncara. Formaciones Margas de Alarcón y Brechas de Utriel (Conaciense-Santoniense).



FOTO 22-25-AD-AG-9062.-

Areniscas y arenas con cemento carbonatado de la base de la Unidad Detrítica Inferior al pie de la localidad de Zafra de Záncara.



FOTO 22-25-AD-AG-9063.-

Unidad Detrítica Inferior a la altura del Km. 57,500 del Tras  
vase Tajo-Segura. Tramo medio y superior de la Unidad.



FOTO 22-25-AD-AG-9064.-

Unidad Detrítica Inferior en Cerro Arenoso. Arenas, areniscas  
y gravas.



FOTO 22-25-AD-AG-9065.-  
Vista panorámica de los relieves del NE de Zafra de Zánchez. Terrenos ocupados por la Unidad Detrítica Superior. Al fondo altiplanicie formada a partir de las calizas del Aragoniense.



FOTO 22-25-AD-AG-9066.-

Calizas y margas de la Unidad Detrítica Superior en el cierre periclinal del Anticlinal de Carrascosa del Campo.



FOTO 22-25-AD-AG-9067.-

Calizas, margas y limos de la Unidad Detrítica Superior al Sur de Rozalén del Monte.



FOTO 22-25-AD-AG-9068.-  
Unidad Detrítica Superior. Conglomerado formado por clastos de caliza y de yeso. Aporte local de la Sierra de Altomira.



FOTO 22-25-AD-AG-9069.-  
Ejemplo de cuerpos arenosos de la Unidad Detrítica Superior en las proximidades de Torrebuçeit.



FOTO 22-25-AD-AG-9070.-

Calizas tuolienses, palustres y con estructuras columnares en las proximidades de la carretera de Montalbo a Palomares del Campo entre el Km 5 y Km 6.



FOTO 22-25-AD-AG-9071.-

Facies proximales (Debris-flow) de abanico en el frente de ca balgamiento del anticlinal del río Cigüela.



FOTO 22-25-AD-AG-9072.-

Vista panorámica de las calizas turolenses desde la carretera de Puebla de  
Almenara a Almendros. Valle del río Cigüela.